



Soutenance de Thèse de Doctorat : Combinaison des techniques de Bounded Model Checking et de Programmation Par Contraintes pour l'aide à la localisation d'erreurs

Mohammed Bekkouche

Univ. Nice Sophia Antipolis, CNRS, I3S, UMR 7271
06900 Sophia Antipolis, France

10 décembre 2015



Plan

- 1 Introduction
- 2 Notre approche
- 3 Expérimentations
- 4 État de l'art
- 5 Conclusions & perspectives



Introduction

Motivation de la Thèse : Conséquences de bugs

- Les **bugs informatiques** peuvent avoir de **terribles conséquences**, exemples :



Ariane 5
Flight 501
(1996)



LA Airport
Flights Grounded
(2007)



Soviet Gas
Pipeline
Explosion (1982)



Black
Monday
(1987)



Introduction

Motivation de la Thèse : Conséquences de bugs

- Les **bugs informatiques** peuvent avoir de **terribles conséquences**, exemples :



Ariane 5
Flight 501
(1996)



LA Airport
Flights Grounded
(2007)



Soviet Gas
Pipeline
Explosion (1982)



Black
Monday
(1987)



Introduction

Motivation de la Thèse : Le débogage de programmes

- Le processus de **débogage** est **essentiel** mais **coûteux**
- Débogage : **localisation** et correction des erreurs
- La **motivation principale** de la localisation d'erreurs est de **diminuer le coût** de la correction des bugs

Dans le **développement de logiciels** :

- 1 Le débogage peut être l'activité la **plus difficile**
- 2 La localisation d'erreurs est l'étape qui **coûte le plus** sur les aspects de débogage

Cette thèse propose une **nouvelle approche** basée sur la **Programmation Par Contraintes** pour l'aide à la localisation d'erreurs **à partir** d'un cas d'erreur (un contre-exemple)



Introduction

Motivation de la Thèse : Le débogage de programmes

- Le processus de **débogage** est **essentiel** mais **coûteux**
- Débogage : **localisation** et correction des erreurs
- La **motivation principale** de la localisation d'erreurs est de **diminuer le coût** de la correction des bugs

Dans le **développement de logiciels** :

- 1 Le débogage peut être l'activité la **plus difficile**
- 2 La localisation d'erreurs est l'étape qui **coûte le plus** sur les aspects de débogage

Cette thèse propose une **nouvelle approche** basée sur la **Programmation Par Contraintes** pour l'aide à la localisation d'erreurs **à partir** d'un cas d'erreur (un contre-exemple)



Introduction

Motivation de la Thèse : Le débogage de programmes

- Le processus de **débogage** est **essentiel** mais **coûteux**
- Débogage : **localisation** et correction des erreurs
- La **motivation principale** de la localisation d'erreurs est de **diminuer le coût** de la correction des bugs

Dans le **développement de logiciels** :

- 1 Le débogage peut être l'activité la **plus difficile**
- 2 La localisation d'erreurs est l'étape qui **coûte le plus** sur les aspects de débogage

Cette thèse propose une **nouvelle approche** basée sur la **Programmation Par Contraintes** pour l'aide à la localisation d'erreurs **à partir** d'un cas d'erreur (un contre-exemple)



Introduction

Problématique de la localisation d'erreurs

L'aide à localisation d'erreurs est **une tâche importante** pour débbugger un programme erroné mais **complexe** en même temps

→ Lorsqu'un programme est **non-conforme** vis-à-vis de sa spécification, à savoir, le programme est erroné :

- Les outils de **BMC (Bounded Model Checking)** et de **test** peuvent générer un ou plusieurs **contre-exemples**
- **La trace du contre-exemple** est souvent **longue** et **compliquée** à comprendre
- L'identification des **parties erronées** du code est **difficile** même pour les programmeurs expérimentés



Introduction

Aperçu de notre solution : Entrées & Sortie

Entrées

- Un programme non conforme vis-à-vis de sa spécification : la postcondition POST violée
- Un contre-exemple CE fourni par un outil BMC

Sorties

Un ensemble réduit d'instructions suspectes permettant au programmeur de comprendre l'origine de ses erreurs



Introduction

Aperçu de notre solution : Les idées

- 1 Le programme est modélisé en un **CFG** en forme DSA
- 2 Le programme et sa spécification sont traduits en **contraintes numériques**
- 3 **CE** : un contre-exemple, **PATH** : un **chemin erroné**
- 4 Le CSP $C = CE \cup PATH \cup POST$ est **inconsistant**

Les questions clés

- Quelles sont **les instructions erronées** dans *PATH* qui rendent C **inconsistant** ?
- Quels **sous-ensembles enlever** pour restaurer **la faisabilité** dans C ?
- Quels **chemins** explorer ?



Introduction

Aperçu de notre solution : **MCS**(Minimal Correction Subset)

MCS : Définition

Soit C un ensemble de **contraintes infaisable**

$$M \subseteq C \text{ est un MCS} \Leftrightarrow \begin{cases} M \subseteq C \\ \text{Sol}(\langle X, C \setminus M, D \rangle) \neq \emptyset \\ \nexists C'' \subset M : \text{Sol}(\langle X, C \setminus C'', D \rangle) = \emptyset \end{cases}$$

MCS : Exemple

- $C = \{c_1 : i = 0, c_2 : v = 5, c_3 : w = 6, c_4 : z = i + v + w, c_5 : ((z = 0 \vee i \neq 0) \wedge (v \geq 0) \wedge (w \geq 0))\}$ **est inconsistant**
- C a 4 **MCS** : $\{c_1\}, \{c_4\}, \{c_5\}, \{c_2, c_3\}$



Introduction

Aperçu de notre solution : **MCS**(Minimal Correction Subset)

MCS : Définition

Soit C un ensemble de **contraintes infaisable**

$$M \subseteq C \text{ est un MCS} \Leftrightarrow \begin{cases} M \subseteq C \\ \text{Sol}(\langle X, C \setminus M, D \rangle) \neq \emptyset \\ \nexists C'' \subset M : \text{Sol}(\langle X, C \setminus C'', D \rangle) = \emptyset \end{cases}$$

MCS : Exemple

- $C = \{c_1 : i = 0, c_2 : v = 5, c_3 : w = 6, c_4 : z = i + v + w, c_5 : ((z = 0 \vee i \neq 0) \wedge (v \geq 0) \wedge (w \geq 0))\}$ **est inconsistant**
- C a 4 **MCS** : $\{c_1\}, \{c_4\}, \{c_5\}, \{c_2, c_3\}$



Introduction

Aperçu de notre solution : **MCS**(Minimal Correction Subset)

MCS : Définition

Soit C un ensemble de **contraintes infaisable**

$$M \subseteq C \text{ est un MCS} \Leftrightarrow \begin{cases} M \subseteq C \\ \text{Sol}(\langle X, C \setminus M, D \rangle) \neq \emptyset \\ \nexists C'' \subset M : \text{Sol}(\langle X, C \setminus C'', D \rangle) = \emptyset \end{cases}$$

MCS : Exemple

- $C = \{c_1 : i = 0, c_2 : v = 5, c_3 : w = 6, c_4 : z = i + v + w, c_5 : ((z = 0 \vee i \neq 0) \wedge (v \geq 0) \wedge (w \geq 0))\}$ **est inconsistant**
- C a 4 **MCS** : $\{c_1\}, \{c_4\}, \{c_5\}, \{c_2, c_3\}$



Introduction

Aperçu de notre solution : **MCS**(Minimal Correction Subset)

MCS : Définition

Soit C un ensemble de **contraintes infaisable**

$$M \subseteq C \text{ est un MCS} \Leftrightarrow \begin{cases} M \subseteq C \\ \text{Sol}(\langle X, C \setminus M, D \rangle) \neq \emptyset \\ \nexists C'' \subset M : \text{Sol}(\langle X, C \setminus C'', D \rangle) = \emptyset \end{cases}$$

MCS : Exemple

- $C = \{c_1 : i = 0, c_2 : v = 5, c_3 : w = 6, c_4 : z = i + v + w, c_5 : ((z = 0 \vee i \neq 0) \wedge (v \geq 0) \wedge (w \geq 0))\}$ **est inconsistant**
- C a 4 **MCS** : $\{c_1\}, \{c_4\}, \{c_5\}, \{c_2, c_3\}$



Introduction

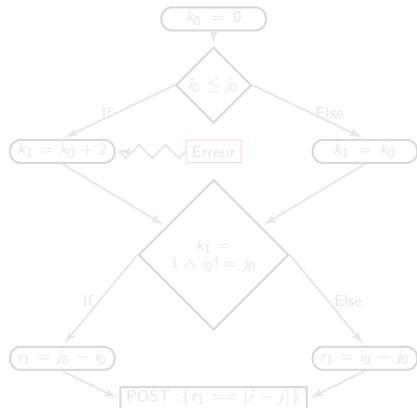
Aperçu de notre solution : Exemple explicatif

Calcul de la **valeur absolue** de $i-j$:

```

1 class AbsMinus {
2  /*returns |i-j|, the absolute value of i minus j*/
3  /*@ ensures
4   @ (result==|i-j|);
5   @*/
6  void AbsMinus (int i, int j) {
7      int result;
8      int k = 0;
9      if (i <= j) {
10         k = k+2; //error:k = k+2 instead of k=k+1
11     }
12     if (k == 1 && i != j) {
13         result = j-i;
14     }
15     else {
16         result = i-j;
17     }
18 }
19 }

```





Introduction

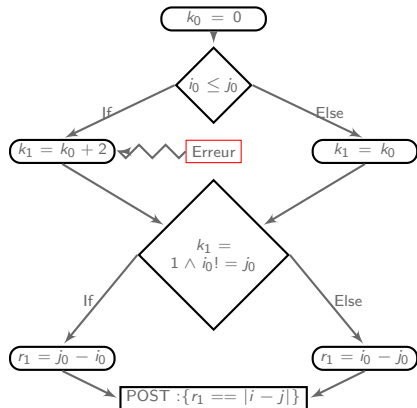
Aperçu de notre solution : Exemple explicatif

Calcul de la **valeur absolue** de $i-j$:

```

1 class AbsMinus {
2  /*returns |i-j|, the absolute value of i minus j*/
3  /*@ ensures
4   @ (result==|i-j|);
5   @*/
6  void AbsMinus (int i, int j) {
7    int result;
8    int k = 0;
9    if (i <= j) {
10     k = k+2; //error:k = k+2 instead of k=k+1
11   }
12   if (k == 1 && i != j) {
13     result = j-i;
14   }
15   else {
16     result = i-j;
17   }
18 }
19 }

```





Introduction

Aperçu de notre solution : Exemple explicatif

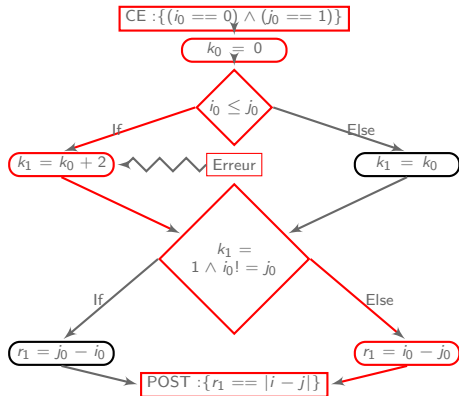
Le **chemin du contre-exemple** :

Postcondition : $\{r_1 == |i - j|\}$

$\{i_0 = 0, j_0 = 1, k_0 = 0, k_1 = k_0 + 2, r_1 = i_0 - j_0, r_1 = |i - j|\}$ est **inconsistant**

Seulement un seul MCS sur le chemin :

$\{r_1 = i_0 - j_0\}$





Introduction

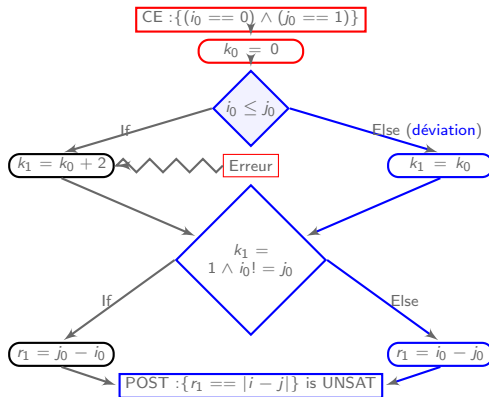
Aperçu de notre solution : Exemple explicatif

Le **chemin** obtenu en **déviant** la condition $i_0 \leq j_0$:

La condition **déviée** : $\{i_0 \leq j_0\}$

$\{i_0 = 0, j_0 = 1, k_0 = 0, k_1 = 0, r_1 = -1\} \cup \{r_1 = |i - j|\}$ est **inconsistant**

La déviation $\{i_0 \leq j_0\}$ ne corrige pas le programme





Introduction

Aperçu de notre solution : Exemple explicatif

Le **chemin** obtenu en **déviant** la condition $k_1 = 1 \wedge i_0! = j_0$:

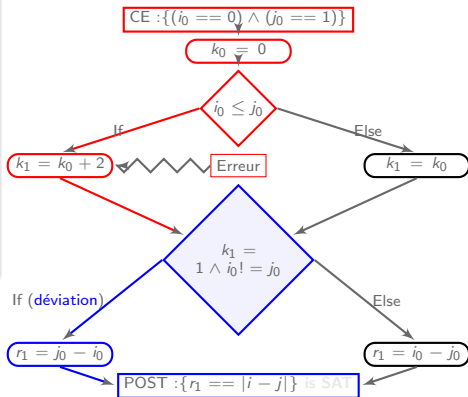
La condition **déviée** : $\{(k_1 = 1 \wedge i_0! = j_0)\}$

$\{i_0 = 0, j_0 = 1, k_0 = 0, k_1 = 2, r_1 = 1\} \cup \{r_1 = |i - j|\}$ est inconsistant

La **déviation** $\{(k_1 = 1 \wedge i_0! = j_0)\}$ **corrige** le programme

$\{i_0 = 0, j_0 = 1, k_0 = 0, k_1 = k_0 + 2, \neg(k_1 = 1 \wedge i_0! = j_0)\}$ est inconsistant

MCS sur le chemin : $\{k_0 = 0\}, \{k_1 = k_0 + 2\}$





Introduction

Aperçu de notre solution : Exemple explicatif

Le **chemin** obtenu en **déviant** la condition $k_1 = 1 \wedge i_0! = j_0$:

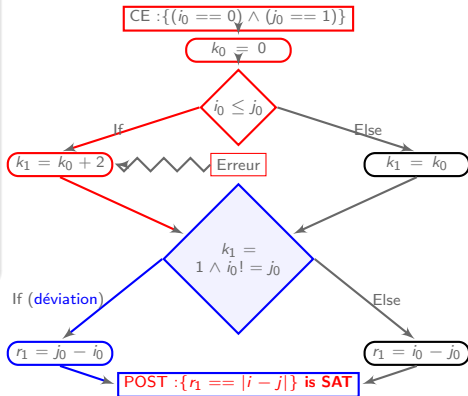
La condition **déviée** : $\{(k_1 = 1 \wedge i_0! = j_0)\}$

$\{i_0 = 0, j_0 = 1, k_0 = 0, k_1 = 2, r_1 = 1\} \cup \{r_1 = |i - j|\}$ est **inconsistent**

La **dévi**ation $\{(k_1 = 1 \wedge i_0! = j_0)\}$ **corrige** le programme

$\{i_0 = 0, j_0 = 1, k_0 = 0, k_1 = k_0 + 2, \neg(k_1 = 1 \wedge i_0! = j_0)\}$ est **inconsistent**

MCS sur le chemin : $\{k_0 = 0\}, \{k_1 = k_0 + 2\}$





Introduction

Principales contributions

Localiser les erreurs dans un **programme incorrect** →
Diagnostiquer un **CSP infaisable**

- Le CSP **représente les contraintes** du CE, du programme et de l'assertion violée
- L'ensemble calculé peut être un **ensemble de correction minimal (MCS)** ou **ensemble inconsistant minimal (MUS)**
- Expliquer l'inconsistance dans un CSP est **difficile**
- BugAssist est une méthode de localisation d'erreurs qui calcule la **fusion** des MCSs avec un solveur MaxSAT
- Elle devient **inefficace** pour les programmes qui contiennent des **opérations arithmétiques sur les entiers**
- LocFaults utilise des **solveur de contraintes** pour calculer les MCSs sur les chemins incorrects du programme



Introduction

Principales contributions : LocFaults vs. BugAssist

- * Nous ne transformons pas la **totalité du programme** en un système de contraintes
- * Nous calculons les MCSs **uniquement** sur le chemin du **contre-exemple** et les chemins **déviés** du contre-exemple permettant de satisfaire la postcondition
- * Nous traduisons les instructions en **contraintes numériques**
- * Nous utilisons un algorithme **générique** pour calculer les MCSs
- * Nous **bornons** la taille des MCSs générés et le nombre de conditions déviées.
- * Nous pouvons **faire collaborer** plusieurs solveurs durant le processus de localisation



Notre approche

DCM : Déviation de Correction Minimale

DCM : Définition

Soit un programme erroné **modélisé** en un **CFG** $G = (C, A, E)$: C est l'ensemble des nœuds conditionnels, A est l'ensemble des blocs d'affectation, E est l'ensemble des arcs, et un contre-exemple.

Une **DC** (*Déviation de Correction*) est un ensemble $D \subseteq C$ telle que la **propagation du contre-exemple** sur l'ensemble des instructions de G à partir de la racine, tout en ayant **nié** chaque condition dans D , permet de satisfaire la postcondition

$$D \subseteq C \text{ est une DCM} \Leftrightarrow \begin{cases} D \text{ est une DC} \\ \nexists C' \subset D : C' \text{ est une DC} \end{cases}$$

Notation $\leq k$ -DCM

Le problème $\leq k$ -DCM consiste à trouver toutes les DCMs de **taille inférieure ou égale** à k



Notre approche

DCM : Déviation de Correction Minimale

DCM : Définition

Soit un programme erroné **modélisé** en un **CFG** $G = (C, A, E)$: C est l'ensemble des nœuds conditionnels, A est l'ensemble des blocs d'affectation, E est l'ensemble des arcs, et un contre-exemple.

Une **DC** (*Déviation de Correction*) est un ensemble $D \subseteq C$ telle que la **propagation du contre-exemple** sur l'ensemble des instructions de G à partir de la racine, tout en ayant **nié** chaque condition dans D , permet de satisfaire la postcondition

$$D \subseteq C \text{ est une DCM} \Leftrightarrow \begin{cases} D \text{ est une DC} \\ \nexists C' \subset D : C' \text{ est une DC} \end{cases}$$

Notation $\leq k$ -DCM

Le problème $\leq k$ -DCM consiste à trouver toutes les DCMs de **taille inférieure ou égale** à k



Notre approche

DCM : Déviation de Correction Minimale

DCM : Définition

Soit un programme erroné **modélisé** en un CFG $G = (C, A, E)$: C est l'ensemble des nœuds conditionnels, A est l'ensemble des blocs d'affectation, E est l'ensemble des arcs, et un contre-exemple.

Une **DC** (*Déviation de Correction*) est un ensemble $D \subseteq C$ telle que la **propagation du contre-exemple** sur l'ensemble des instructions de G à partir de la racine, tout en ayant **nié** chaque condition dans D , permet de satisfaire la postcondition

$$D \subseteq C \text{ est une DCM} \Leftrightarrow \begin{cases} D \text{ est une DC} \\ \nexists C' \subset D : C' \text{ est une DC} \end{cases}$$

Notation $\leq k$ -DCM

Le problème $\leq k$ -DCM consiste à trouver toutes les DCMs de **taille inférieure ou égale** à k



Notre approche

DCM : Déviation de Correction Minimale

DCM : Définition

Soit un programme erroné **modélisé** en un CFG $G = (C, A, E)$: C est l'ensemble des nœuds conditionnels, A est l'ensemble des blocs d'affectation, E est l'ensemble des arcs, et un contre-exemple.

Une **DC** (*Déviation de Correction*) est un ensemble $D \subseteq C$ telle que la **propagation du contre-exemple** sur l'ensemble des instructions de G à partir de la racine, tout en ayant **nié** chaque condition dans D , permet de satisfaire la postcondition

$$D \subseteq C \text{ est une DCM} \Leftrightarrow \begin{cases} D \text{ est une DC} \\ \nexists C' \subset D : C' \text{ est une DC} \end{cases}$$

Notation $\leq k$ -DCM

Le problème $\leq k$ -DCM consiste à trouver toutes les DCMs de **taille inférieure ou égale** à k



Notre approche

Déviations de Correction non-Minimale

Le **chemin** d'une **déviations non-minimale**

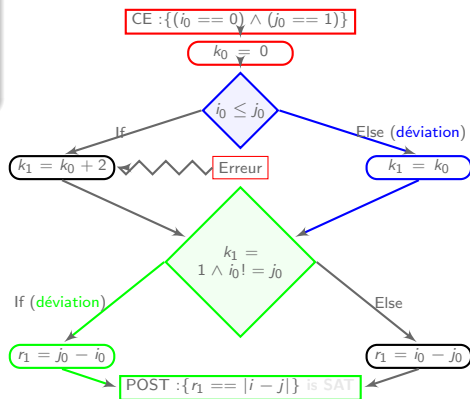
$\{i_0 \leq j_0, k_1 = 1 \wedge i_0 \neq j_0\}$:

Les conditions **déviées** :

$\{i_0 \leq j_0, (k_1 = 1 \wedge i_0 \neq j_0)\}$

$\{i_0 = 0, j_0 = 1, k_0 = 0, k_1 = 0, r_1 = 1\} \cup \{r_1 = |i - j|\}$ est consistant

La déviation est non-minimale





Notre approche

Déviation de Correction non-Minimale

Le **chemin** d'une **dévi**ation non-minimale

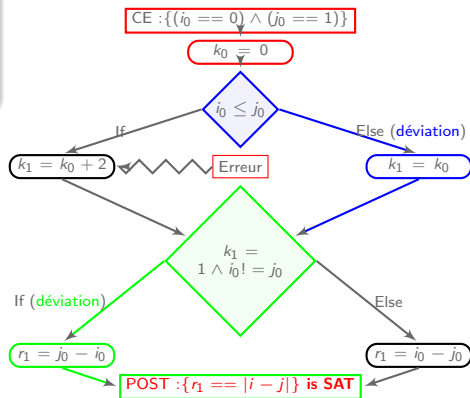
$\{i_0 \leq j_0, k_1 = 1 \wedge i_0! = j_0\}$:

Les conditions **déviées** :

$\{i_0 \leq j_0, (k_1 = 1 \wedge i_0! = j_0)\}$

$\{i_0 = 0, j_0 = 1, k_0 = 0, k_1 = 0, r_1 = 1\} \cup \{r_1 = |i - j|\}$ est consistant

La déviation est non-minimale





Notre approche

LocFaults : BMC à base de contraintes (CPBPV)

- Contexte : Programmes avec des **opérations numériques** sur les entiers ou nombres à virgule flottante
- Objectif : **Trouver des contre-exemples** violant une assertion

BMC sur la base de la programmation par contraintes

- Le programme est **déplié** b fois
- Le programme déplié (et simplifié) sous **forme SSA/DSA** et la **négation de la propriété** sont traduits **à la volée** en un **système de contrainte** $C_s = PRE \wedge PROG_b \wedge \neg POST$
 $\rightarrow C_s$ est satisfiable pour un **chemin complet**, ssi il existe un **contre-exemple** de **profondeur inférieure** à b
- **Divers solveurs** et **stratégies** peuvent être utilisés



Notre approche

LocFaults : MCSs pour localiser les erreurs

- Localisation des erreurs détectées par la phase de BMC
- CE une instantiation des variables qui satisfait $PRE \cup PATH \cup \neg POST$ (CE est un contre-exemple)
 $\rightarrow C = CE \cup PRE \cup PATH \cup POST$ est inconsistant

Démarche de LocFaults pour localiser les erreurs

- 1 L'erreur peut se trouver dans une affectation sur le chemin du CE : LocFaults calcule les MCSs de C pour localiser les erreurs sur le chemin du CE
- 2 L'erreur peut provenir d'un mauvais branchement : LocFaults calcule les MCSs des CSP obtenus en déviant des branchements par rapport au comportement induit par CE



Notre approche

LocFaults : Algorithme

- **Entrées** : $PROG_b$, CE , b_{cond} : une **borne** sur le nombre de conditions qui sont déviées, b_{mcs} : une **borne** sur le nombre de MCSs générés.
 - **Sorties** : Une liste de **corrections possibles**
- 1 **Construction** du CFG du $PROG_b$
 - 2 **Exploration** du CFG : LocFaults appelle la **fonction DFS** sur le chemin du CE (i.e. en déviant 0 condition) puis en acceptant au plus b_{cond} déviations
 - Explorer le chemin du contre-exemple et les chemins avec au plus b_{cond} **déviations**
 - Calculer les ensembles MCSs avec au plus b_{mcs} **instructions suspectes**



Notre approche

LocFaults : Algorithme

- 1 LocFaults calcule au plus b_{mcs} MCSs sur le CSP du chemin du *CE* ($b_{cond} = 0$)
- 2 LocFaults essaye de **dévier une condition** ($b_{cond} = 1$). Si le CSP du chemin dévié satisfait la postcondition, il y a deux types d'ensemble d'instructions suspects :
 - La condition *cond* est source de l'erreur
 - LocFaults calcule au plus b_{mcs} MCSs sur le CSP des contraintes collectées sur **le chemin qui arrivent à *cond***
- 3 Le processus (2) est **répété sur chaque nœud conditionnel** du chemin du *CE*
- 4 **Processus pour $b_{cond} > 1$**
 - Un noeud conditionnel **n** est marqué avec le nombre de déviations sur le chemin courant avant d'atteindre **n**
 - À l'étape b_{cond} , **une décision pour un noeud marqué avec b'_{cond} est seulement déviée ssi $b'_{cond} < b_{cond}$**



Notre approche

LocFaults : Calcul MCSs dans le CSP construit

Algorithme de **Liffiton** et **Sakallah** pour **calculer les MCSs** :

```

1  Fonction MCS( $C, b_{mcs}$ )
   Entrées:  $C$  : Ensemble de contraintes infaisable,  $b_{mcs}$  : Entier
   Sorties:  $MCS$  : Liste de MCS de  $C$  de cardinalité inférieure à  $b_{mcs}$ 
   début
2
3      $C' \leftarrow \text{ADDYVARS}(C)$ ;  $MCS \leftarrow \emptyset$ ;  $k \leftarrow 1$ ;
4     tant que  $\text{SAT}(C') \wedge k \leq b_{mcs}$  faire
5          $C'_k \leftarrow C' \wedge \text{ATMOST}(\{\neg y_1, \neg y_2, \dots, \neg y_n\}, k)$ 
6         tant que  $\text{SAT}(C'_k)$  faire
7              $newMCS \leftarrow \emptyset$ 
8             pour chaque indicateur  $y_i$  faire
9                 Soit  $y_i$  l'indicateur de la contrainte  $c_i \in C$ , et  $val(y_i)$  la valeur de  $y_i$  dans la
10                solution calculée de  $C'_k$ .
11                si  $val(y_i) = 0$  alors
12                     $newMCS \leftarrow newMCS \cup \{c_i\}$ .
13                fin
14            fin
15             $MCS.add(newMCS)$ .
16             $C'_k \leftarrow C'_k \wedge \text{BLOCKINGCLAUSE}(newMCS)$ 
17             $C' \leftarrow C' \wedge \text{BLOCKINGCLAUSE}(newMCS)$ 
18        fin
19         $k \leftarrow k + 1$ 
20    fin
21    retourner  $MCS$ 
  
```



Notre approche

LocFaults : Calcul MCSs dans le CSP construit

Algorithme de **Liffiton** et **Sakallah** pour **calculer les MCSs** :

```

1  Fonction MCS( $C, b_{mcs}$ )
   Entrées:  $C$  : Ensemble de contraintes infaisable,  $b_{mcs}$  : Entier
   Sorties:  $MCS$  : Liste de MCS de  $C$  de cardinalité inférieure à  $b_{mcs}$ 
   début
2
3      $C' \leftarrow \text{ADDYVARS}(C)$ ;  $MCS \leftarrow \emptyset$ ;  $k \leftarrow 1$ ;
4     tant que  $\text{SAT}(C') \wedge k \leq b_{mcs}$  faire
5          $C'_k \leftarrow C' \wedge \text{ATMOST}(\{\neg y_1, \neg y_2, \dots, \neg y_n\}, k)$ 
6         tant que  $\text{SAT}(C'_k)$  faire
7              $newMCS \leftarrow \emptyset$ 
8             pour chaque indicateur  $y_i$  faire
9                 Soit  $y_i$  l'indicateur de la contrainte  $c_i \in C$ , et  $val(y_i)$  la valeur de  $y_i$  dans la
10                solution calculée de  $C'_k$ .
11                si  $val(y_i) = 0$  alors
12                     $newMCS \leftarrow newMCS \cup \{c_i\}$ .
13                fin
14            fin
15             $MCS.add(newMCS)$ .
16             $C'_k \leftarrow C'_k \wedge \text{BLOCKINGCLAUSE}(newMCS)$ 
17             $C' \leftarrow C' \wedge \text{BLOCKINGCLAUSE}(newMCS)$ 
18        fin
19         $k \leftarrow k + 1$ 
20    fin
21    retourner  $MCS$ 
  
```



Notre approche

LocFaults : Calcul MCSs dans le CSP construit

Algorithme de **Liffiton** et **Sakallah** pour **calculer les MCSs** :

```

1  Fonction MCS( $C, b_{mcs}$ )
   Entrées:  $C$  : Ensemble de contraintes infaisable,  $b_{mcs}$  : Entier
   Sorties:  $MCS$  : Liste de MCS de  $C$  de cardinalité inférieure à  $b_{mcs}$ 
   début
2
3      $C' \leftarrow \text{ADDYVARS}(C)$ ;  $MCS \leftarrow \emptyset$ ;  $k \leftarrow 1$ ;
4     tant que  $\text{SAT}(C') \wedge k \leq b_{mcs}$  faire
5          $C'_k \leftarrow C' \wedge \text{ATMOST}(\{\neg y_1, \neg y_2, \dots, \neg y_n\}, k)$ 
6         tant que  $\text{SAT}(C'_k)$  faire
7              $newMCS \leftarrow \emptyset$ 
8             pour chaque indicateur  $y_i$  faire
9                 Soit  $y_i$  l'indicateur de la contrainte  $c_i \in C$ , et  $val(y_i)$  la valeur de  $y_i$  dans la
                solution calculée de  $C'_k$ .
10                si  $val(y_i) = 0$  alors
11                     $newMCS \leftarrow newMCS \cup \{c_i\}$ .
12                fin
13            fin
14             $MCS.add(newMCS)$ .
15             $C'_k \leftarrow C'_k \wedge \text{BLOCKINGCLAUSE}(newMCS)$ 
16             $C' \leftarrow C' \wedge \text{BLOCKINGCLAUSE}(newMCS)$ 
17        fin
18         $k \leftarrow k + 1$ 
19    fin
20    retourner  $MCS$ 
21 fin
  
```



Notre approche

LocFaults : Calcul MCSs dans le CSP construit

Algorithme de **Liffiton** et **Sakallah** pour **calculer les MCSs** :

```

1  Fonction MCS( $C, b_{mcs}$ )
   Entrées:  $C$  : Ensemble de contraintes infaisable,  $b_{mcs}$  : Entier
   Sorties:  $MCS$  : Liste de MCS de  $C$  de cardinalité inférieure à  $b_{mcs}$ 
   début
2
3      $C' \leftarrow \text{ADDYVARS}(C)$ ;  $MCS \leftarrow \emptyset$ ;  $k \leftarrow 1$ ;
4     tant que  $\text{SAT}(C') \wedge k \leq b_{mcs}$  faire
5          $C'_k \leftarrow C' \wedge \text{ATMOST}(\{\neg y_1, \neg y_2, \dots, \neg y_n\}, k)$ 
6         tant que  $\text{SAT}(C'_k)$  faire
7              $\text{newMCS} \leftarrow \emptyset$ 
8             pour chaque indicateur  $y_i$  faire
9                 Soit  $y_i$  l'indicateur de la contrainte  $c_i \in C$ , et  $\text{val}(y_i)$  la valeur de  $y_i$  dans la
                solution calculée de  $C'_k$ .
10                si  $\text{val}(y_i) = 0$  alors
11                     $\text{newMCS} \leftarrow \text{newMCS} \cup \{c_i\}$ .
12                fin
13            fin
14             $MCS.\text{add}(\text{newMCS})$ .
15             $C'_k \leftarrow C'_k \wedge \text{BLOCKINGCLAUSE}(\text{newMCS})$ 
16             $C' \leftarrow C' \wedge \text{BLOCKINGCLAUSE}(\text{newMCS})$ 
17        fin
18         $k \leftarrow k + 1$ 
19    fin
20    retourner  $MCS$ 
21 fin
  
```



Notre approche

LocFaults : Calcul MCSs dans le CSP construit

Algorithme de **Liffiton** et **Sakallah** pour **calculer les MCSs** :

```

1  Fonction MCS( $C, b_{mcs}$ )
   Entrées:  $C$  : Ensemble de contraintes infaisable,  $b_{mcs}$  : Entier
   Sorties:  $MCS$  : Liste de MCS de  $C$  de cardinalité inférieure à  $b_{mcs}$ 
   début
2
3      $C' \leftarrow \text{ADDYVARS}(C)$ ;  $MCS \leftarrow \emptyset$ ;  $k \leftarrow 1$ ;
4     tant que  $\text{SAT}(C') \wedge k \leq b_{mcs}$  faire
5          $C'_k \leftarrow C' \wedge \text{ATMOST}(\{\neg y_1, \neg y_2, \dots, \neg y_n\}, k)$ 
6         tant que  $\text{SAT}(C'_k)$  faire
7              $\text{newMCS} \leftarrow \emptyset$ 
8             pour chaque indicateur  $y_i$  faire
9                 Soit  $y_i$  l'indicateur de la contrainte  $c_i \in C$ , et  $\text{val}(y_i)$  la valeur de  $y_i$  dans la
                solution calculée de  $C'_k$ .
10                si  $\text{val}(y_i) = 0$  alors
11                     $\text{newMCS} \leftarrow \text{newMCS} \cup \{c_i\}$ .
12                fin
13            fin
14             $MCS.\text{add}(\text{newMCS})$ .
15             $C'_k \leftarrow C'_k \wedge \text{BLOCKINGCLAUSE}(\text{newMCS})$ 
16             $C' \leftarrow C' \wedge \text{BLOCKINGCLAUSE}(\text{newMCS})$ 
17        fin
18         $k \leftarrow k + 1$ 
19    fin
20    retourner  $MCS$ 
21 fin
  
```



Notre approche

LocFaults : Calcul MCSs dans le CSP construit

Algorithme de **Liffiton** et **Sakallah** pour **calculer les MCSs** :

```

1  Fonction MCS( $C, b_{mcs}$ )
   Entrées:  $C$  : Ensemble de contraintes infaisable,  $b_{mcs}$  : Entier
   Sorties:  $MCS$  : Liste de MCS de  $C$  de cardinalité inférieure à  $b_{mcs}$ 
   début
2
3      $C' \leftarrow \text{ADDYVARS}(C)$ ;  $MCS \leftarrow \emptyset$ ;  $k \leftarrow 1$ ;
4     tant que  $\text{SAT}(C') \wedge k \leq b_{mcs}$  faire
5          $C'_k \leftarrow C' \wedge \text{ATMOST}(\{\neg y_1, \neg y_2, \dots, \neg y_n\}, k)$ 
6         tant que  $\text{SAT}(C'_k)$  faire
7              $\text{newMCS} \leftarrow \emptyset$ 
8             pour chaque indicateur  $y_i$  faire
9                 Soit  $y_i$  l'indicateur de la contrainte  $c_i \in C$ , et  $\text{val}(y_i)$  la valeur de  $y_i$  dans la
                solution calculée de  $C'_k$ .
10                si  $\text{val}(y_i) = 0$  alors
11                     $\text{newMCS} \leftarrow \text{newMCS} \cup \{c_i\}$ .
12                fin
13            fin
14             $MCS.\text{add}(\text{newMCS})$ .
15             $C'_k \leftarrow C'_k \wedge \text{BLOCKINGCLAUSE}(\text{newMCS})$ 
16             $C' \leftarrow C' \wedge \text{BLOCKINGCLAUSE}(\text{newMCS})$ 
17        fin
18         $k \leftarrow k + 1$ 
19    fin
20    retourner  $MCS$ 
21 fin
  
```



Notre approche

LocFaults : Calcul MCSs dans le CSP construit

Algorithme de **Liffiton** et **Sakallah** pour **calculer les MCSs** :

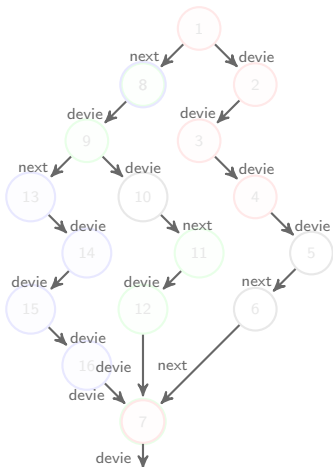
```

1  Fonction MCS( $C, b_{mcs}$ )
   Entrées:  $C$  : Ensemble de contraintes infaisable,  $b_{mcs}$  : Entier
   Sorties:  $MCS$  : Liste de MCS de  $C$  de cardinalité inférieure à  $b_{mcs}$ 
   début
2
3      $C' \leftarrow \text{ADDYVARS}(C)$ ;  $MCS \leftarrow \emptyset$ ;  $k \leftarrow 1$ ;
4     tant que  $\text{SAT}(C') \wedge k \leq b_{mcs}$  faire
5          $C'_k \leftarrow C' \wedge \text{ATMOST}(\{\neg y_1, \neg y_2, \dots, \neg y_n\}, k)$ 
6         tant que  $\text{SAT}(C'_k)$  faire
7              $newMCS \leftarrow \emptyset$ 
8             pour chaque indicateur  $y_i$  faire
9                 Soit  $y_i$  l'indicateur de la contrainte  $c_i \in C$ , et  $val(y_i)$  la valeur de  $y_i$  dans la
                solution calculée de  $C'_k$ .
10                si  $val(y_i) = 0$  alors
11                     $newMCS \leftarrow newMCS \cup \{c_i\}$ .
12                fin
13            fin
14             $MCS.add(newMCS)$ .
15             $C'_k \leftarrow C'_k \wedge \text{BLOCKINGCLAUSE}(newMCS)$ 
16             $C' \leftarrow C' \wedge \text{BLOCKINGCLAUSE}(newMCS)$ 
17        fin
18         $k \leftarrow k + 1$ 
19    fin
20    retourner  $MCS$ 
21 fin
  
```



Notre approche

LocFaults : Illustration du déroulement du marquage des noeuds



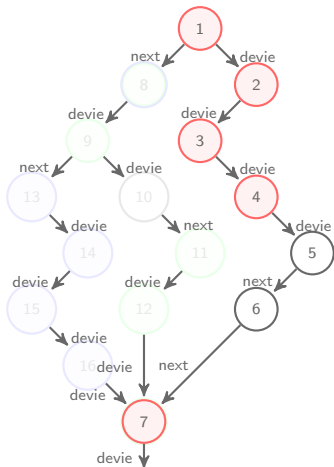
le chemin $\langle 1, 2, 3, 4, 5, 6, 7, \dots, POST \rangle$ est correct
 le chemin $\langle 1, 8, 9, 10, 11, 12, 7, \dots, POST \rangle$ est correct

- À l'étape $k = 5$, notre algorithme a identifié **deux déviations de correction minimales** de taille égale à 5 :
 - 1 $D_1 = \{1, 2, 3, 4, 7\}$, le nœud "7" est **marqué** par la valeur 5 ;
 - 2 $D_2 = \{8, 9, 11, 12, 7\}$, elle a été autorisée, car la valeur de la **marque** du nœud "7" est égale à la cardinalité de D_2 .
- À l'étape $k = 6$, l'algorithme a **suspendu la déviation** suivante $D_3 = \{8, 13, 14, 15, 16, 7\}$, car la cardinalité de D_3 est supérieure strictement à la valeur de l'étiquette du nœud "7"



Notre approche

LocFaults : Illustration du déroulement du marquage des noeuds



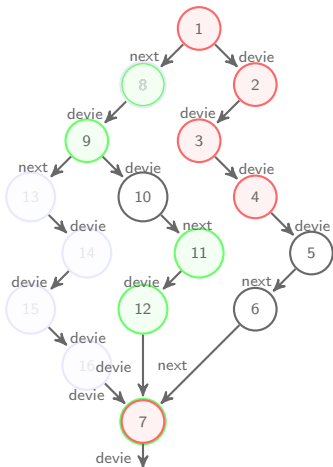
le chemin $\langle 1, 2, 3, 4, 5, 6, 7, \dots, POST \rangle$ est correct
 le chemin $\langle 1, 8, 9, 10, 11, 12, 7, \dots, POST \rangle$ est correct

- À l'étape $k = 5$, notre algorithme a identifié **deux déviations de correction minimales** de taille égale à 5 :
 - 1 $D_1 = \{1, 2, 3, 4, 7\}$, le nœud "7" est **marqué** par la valeur 5 ;
 - 2 $D_2 = \{8, 9, 11, 12, 7\}$, elle a été autorisée, car la valeur de la **marque** du nœud "7" est égale à la cardinalité de D_2 .
- À l'étape $k = 6$, l'algorithme a **suspendu la déviation** suivante $D_3 = \{8, 13, 14, 15, 16, 7\}$, car la cardinalité de D_3 est supérieure strictement à la valeur de l'étiquette du nœud "7"



Notre approche

LocFaults : Illustration du déroulement du marquage des noeuds



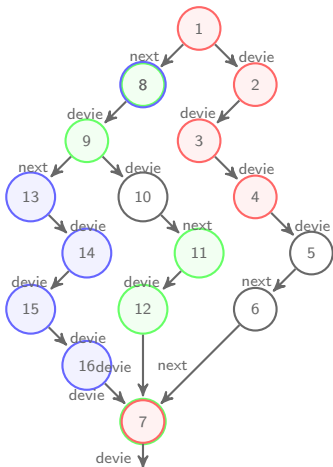
le chemin $\langle 1, 2, 3, 4, 5, 6, 7, \dots, POST \rangle$ est correct
 le chemin $\langle 1, 8, 9, 10, 11, 12, 7, \dots, POST \rangle$ est correct

- À l'étape $k = 5$, notre algorithme a identifié **deux déviations de correction minimales** de taille égale à 5 :
 - 1 $D_1 = \{1, 2, 3, 4, 7\}$, le nœud "7" est **marqué** par la valeur 5 ;
 - 2 $D_2 = \{8, 9, 11, 12, 7\}$, elle a été autorisée, car la valeur de la **marque** du nœud "7" est égale à la cardinalité de D_2 .
- À l'étape $k = 6$, l'algorithme a **suspendu la déviation** suivante $D_3 = \{8, 13, 14, 15, 16, 7\}$, car la cardinalité de D_3 est supérieure strictement à la valeur de l'étiquette du nœud "7"



Notre approche

LocFaults : Illustration du déroulement du marquage des noeuds



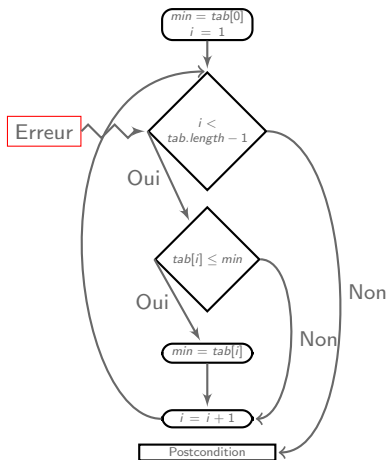
le chemin $\langle 1, 2, 3, 4, 5, 6, 7, \dots, POST \rangle$ est correct
 le chemin $\langle 1, 8, 9, 10, 11, 12, 7, \dots, POST \rangle$ est correct

- À l'étape $k = 5$, notre algorithme a identifié **deux déviations de correction minimales** de taille égale à 5 :
 - 1 $D_1 = \{1, 2, 3, 4, 7\}$, le nœud "7" est **marqué** par la valeur 5 ;
 - 2 $D_2 = \{8, 9, 11, 12, 7\}$, elle a été autorisée, car la valeur de la **marque** du nœud "7" est égale à la cardinalité de D_2 .
- À l'étape $k = 6$, l'algorithme a **suspendu la déviation** suivante $D_3 = \{8, 13, 14, 15, 16, 7\}$, car la cardinalité de D_3 est supérieure strictement à la valeur de l'étiquette du nœud "7"



Notre approche

LocFaults : Illustration sur le programme avec boucle Minimum





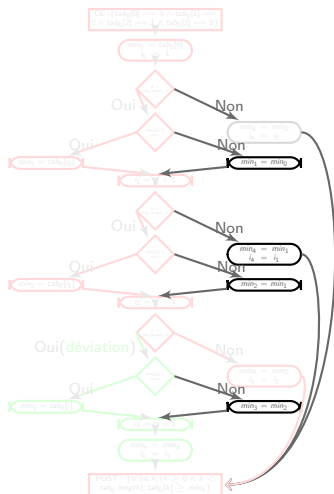
Notre approche

LocFaults : Illustration sur le programme avec boucle Minimum

- $CE = \{tab[0] = 3, tab[1] = 2, tab[2] = 1, tab[3] = 0\}$
- Le **chemin initial fautif** (illustration en rouge)
- La **déviatio**n pour laquelle la **postcondition est satisfaite** (illustration en vert)

Chemins et MCSs générés par LocFaults pour le programme Minimum :

| PATH | MCSs |
|---|---|
| $\{CE : [tab_0[0] = 3 \wedge tab_0[1] = 2 \wedge tab_0[2] = 1$ $\wedge tab_0[3] == 0], min_0 = tab_0[0], i_0 = 1,$ $min_1 = tab_0[i_0], i_1 = i_0 + 1, min_2 = tab_0[i_1],$ $i_2 = i_1 + 1, min_3 = min_2, i_3 = i_2,$ $POST : [(tab[0] \geq min_3) \wedge (tab[1] \geq min_3)$ $\wedge (tab[2] \geq min_3) \wedge (tab[3] \geq min_3)]\}$ | $\{min_2 = tab_0[i_1]\}$ |
| $\{CE : [tab_0[0] = 3 \wedge tab_0[1] = 2 \wedge tab_0[2] = 1$ $\wedge tab_0[3] == 0], min_0 = tab_0[0], i_0 = 1,$ $min_1 = tab_0[i_0], i_1 = i_0 + 1, min_2 = tab_0[i_1],$ $i_2 = i_1 + 1, \neg(i_2 \leq tab_0.length - 1)]\}$ | $\{i_0 = 1,$ $i_1 = i_0 + 1,$ $i_2 = i_1 + 1\}$ |





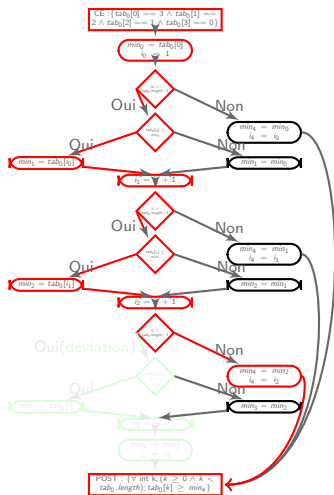
Notre approche

LocFaults : Illustration sur le programme avec boucle Minimum

- $CE = \{tab[0] = 3, tab[1] = 2, tab[2] = 1, tab[3] = 0\}$
- Le **chemin initial fautif** (illustration en rouge)
- La **déviante** pour laquelle la **postcondition est satisfaite** (illustration en vert)

Chemins et MCSs générés par LocFaults pour le programme Minimum :

| PATH | MCSs |
|---|---|
| $\{CE : [tab_0[0] = 3 \wedge tab_0[1] = 2 \wedge tab_0[2] = 1$ $\wedge tab_0[3] == 0], min_0 = tab_0[0], i_0 = 1,$ $min_1 = tab_0[i_0], i_1 = i_0 + 1, min_2 = tab_0[i_1],$ $i_2 = i_1 + 1, min_3 = min_2, i_3 = i_2,$ $POST : [(tab[0] \geq min_3) \wedge (tab[1] \geq min_3)$ $\wedge (tab[2] \geq min_3) \wedge (tab[3] \geq min_3)]\}$ | $\{min_2 = tab_0[i_1]\}$ |
| $\{CE : [tab_0[0] = 3 \wedge tab_0[1] = 2 \wedge tab_0[2] = 1$ $\wedge tab_0[3] == 0], min_0 = tab_0[0], i_0 = 1,$ $min_1 = tab_0[i_0], i_1 = i_0 + 1, min_2 = tab_0[i_1],$ $i_2 = i_1 + 1, \neg(i_2 \leq tab_0.length - 1)]\}$ | $\{i_0 = 1\},$ $\{i_1 = i_0 + 1\},$ $\{i_2 = i_1 + 1\}$ |





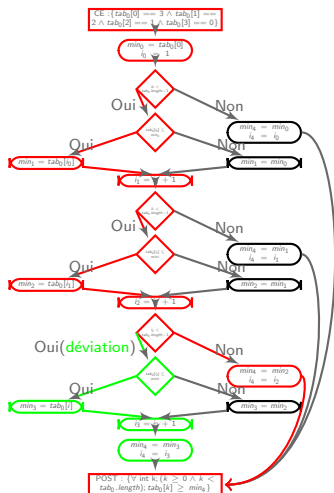
Notre approche

LocFaults : Illustration sur le programme avec boucle Minimum

- $CE = \{tab[0] = 3, tab[1] = 2, tab[2] = 1, tab[3] = 0\}$
- Le **chemin initial fautif** (illustration en rouge)
- La **déviatio**n pour laquelle la **postcondition est satisfaite** (illustration en vert)

Chemins et MCSs générés par LocFaults pour le programme Minimum :

| PATH | MCSs |
|---|---|
| $\{CE : [tab_0[0] = 3 \wedge tab_0[1] = 2 \wedge tab_0[2] = 1$ $\wedge tab_0[3] == 0], min_0 = tab_0[0], i_0 = 1,$ $min_1 = tab_0[i_0], i_1 = i_0 + 1, min_2 = tab_0[i_1],$ $i_2 = i_1 + 1, min_3 = min_2, i_3 = i_2,$ $POST : [(tab[0] \geq min_3) \wedge (tab[1] \geq min_3)$ $\wedge (tab[2] \geq min_3) \wedge (tab[3] \geq min_3)]\}$ | $\{min_2 = tab_0[i_1]\}$ |
| $\{CE : [tab_0[0] = 3 \wedge tab_0[1] = 2 \wedge tab_0[2] = 1$ $\wedge tab_0[3] == 0], min_0 = tab_0[0], i_0 = 1,$ $min_1 = tab_0[i_0], i_1 = i_0 + 1, min_2 = tab_0[i_1],$ $i_2 = i_1 + 1, \neg(i_2 \leq tab_0.length - 1)]\}$ | $\{i_0 = 1\},$ $\{i_1 = i_0 + 1\},$ $\{i_2 = i_1 + 1\}$ |





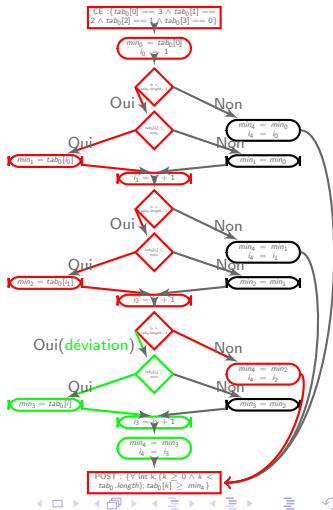
Notre approche

LocFaults : Illustration sur le programme avec boucle Minimum

- $CE = \{tab[0] = 3, tab[1] = 2, tab[2] = 1, tab[3] = 0\}$
- Le **chemin initial fautif** (illustration en rouge)
- La **déviatio**n pour laquelle la **postcondition est satisfaite** (illustration en vert)

Chemins et MCSs générés par LocFaults pour le programme Minimum :

| PATH | MCSs |
|---|---|
| $\{CE : [tab_0[0] = 3 \wedge tab_0[1] = 2 \wedge tab_0[2] = 1$ $\wedge tab_0[3] == 0], min_0 = tab_0[0], i_0 = 1,$ $min_1 = tab_0[i_0], i_1 = i_0 + 1, min_2 = tab_0[i_1],$ $i_2 = i_1 + 1, min_3 = min_2, i_3 = i_2,$ $POST : [(tab[0] \geq min_3) \wedge (tab[1] \geq min_3)$ $\wedge (tab[2] \geq min_3) \wedge (tab[3] \geq min_3)]\}$ | $\{min_2 = tab_0[i_1]\}$ |
| $\{CE : [tab_0[0] = 3 \wedge tab_0[1] = 2 \wedge tab_0[2] = 1$ $\wedge tab_0[3] == 0], min_0 = tab_0[0], i_0 = 1,$ $min_1 = tab_0[i_0], i_1 = i_0 + 1, min_2 = tab_0[i_1],$ $i_2 = i_1 + 1, [\neg(i_2 \leq tab_0.length - 1)]\}$ | $\{i_0 = 1\},$ $\{i_1 = i_0 + 1\},$ $\{i_2 = i_1 + 1\}$ |





Évaluation expérimentale

Outils utilisés et protocole expérimental

- **LocFaults** : notre implémentation
 - Les solveurs **CP OPTIMIZER** et **CPLEX** d'IBM
 - L'outil **CPBPV** pour générer le CFG et CE
 - Benchmarks : les programmes **Java**
 - LocFaults se limitera à **dévier** au plus 3 conditions (approche **incomplète**)
- **BugAssist** : l'outil de localisation d'erreurs implémentant l'approche BugAssist
 - Le solveur MaxSAT **MSUnCore2**
 - L'outil **CBMC** pour générer le contre-exemple et la trace erronée correspondante
 - Benchmarks : les programmes **ANSI-C**



Évaluation expérimentale

Outils utilisés et protocole expérimental

- **LocFaults** : notre implémentation
 - Les solveurs **CP OPTIMIZER** et **CPLEX** d'IBM
 - L'outil **CPBPV** pour générer le CFG et CE
 - Benchmarks : les programmes **Java**
 - LocFaults se limitera à **dévier** au plus 3 conditions (approche **incomplète**)
- **BugAssist** : l'outil de localisation d'erreurs implémentant l'approche BugAssist
 - Le solveur MaxSAT **MSUnCore2**
 - L'outil **CBMC** pour générer le contre-exemple et la trace erronée correspondante
 - Benchmarks : les programmes **ANSI-C**



Évaluation expérimentale

Les programmes construits

■ Programmes académiques

→ Programmes **sans boucles** et **sans calculs non linéaires**
(minimax, caractéristiques d'un triangle)

→ Programmes **sans boucles** et **avec calculs non linéaires**
(calculs sur triangle)

→ Programmes **avec boucles**
(tri, calculs simples)

■ Un **benchmark réaliste TCAS** (Traffic Collision Avoidance System)

→ 1608 cas de tests , sauf les cas de débordement du tableau *PositiveRAAltThresh*

→ V1 ... V41



Évaluation expérimentale

Résultats sur des programmes sans boucles et calculs non linéaires

| Programme | Contre-exemple | LocFaults | | | | BugAssist |
|-----------------|---|------------|--|--|--|--|
| | | = 0 | = 1 | = 2 | = 3 | |
| AbsMinusKO3 | $\{i = 0, j = 1\}$ | {20} | {16}, {14}, {12} | / | / | {16, 20} |
| MinmaxKO | $\{in_1 = 2, in_2 = 1, in_3 = 3\}$ | {10}, {19} | {18}, {10} | / | / | {14, 19, 30} |
| MidKO | $\{a = 2, b = 1, c = 3\}$ | {19} | / | / | {14, 23, 26} | {14, 19, 30} |
| Maxmin6varKO4 | $\{a = 1, b = -3, c = -4, d = -2, e = -1, f = -2\}$ | {116} | / | / | {12, 15, 19} | {12, 166} |
| TritypeKO | $\{i = 2, j = 3, k = 2\}$ | {54} | $\{48\}, \{26\}, \{30\}, \{25\}$ | $\{29, 32\}, \{53, 57\}, \{30\}, \{25\}$ | / | $\{26, 27, 32, 33, 36, 48, 57, 68\}$ |
| TritypeKO4 | $\{i = 2, j = 3, k = 3\}$ | {46} | {45}, {33}, {25} | {26, 32} | $\{32, 35, 49\}, \{32, 35, 53\}, \{32, 35, 57\}$ | $\{26, 27, 29, 30, 32, 33, 35, 45, 49, 68\}$ |
| TritypeKO6 | $\{i = 2, j = 3, k = 3\}$ | {40} | $\{26\}, \{29\}$ | $\{35, 49\}, \{25\}, \{35, 53\}, \{25\}, \{35, 57\}, \{25\}$ | / | $\{26, 27, 29, 30, 32, 33, 35, 49, 68\}$ |
| TriPerimetreKO | $\{i = 2, j = 1, k = 2\}$ | {58} | $\{37\}, \{31\}, \{32\}, \{27\}$ | / | / | $\{28, 29, 31, 32, 35, 37, 65, 72\}$ |
| TriPerimetreKO6 | $\{i = 2, j = 2, k = 3\}$ | {50} | $\{37\}, \{35\}, \{34\}, \{27\}, \{29\}$ | $\{49, 53\}, \{35\}, \{27\}, \{29\}$ | / | $\{37, 72, 29, 32, 35, 34, 31, 49, 53\}$ |
| TriPerimetreKO4 | $\{i = 2, j = 3, k = 3\}$ | {50} | $\{37\}, \{34\}, \{35\}, \{27\}, \{49\}, \{35\}, \{27\}$ | / | / | $\{37, 35, 72, 50, 49, 34, 28, 29, 32, 61, 65, 31\}$ |

LocFaults fournit une localisation plus informative et plus explicative



Évaluation expérimentale

Résultats sur des programmes sans boucles et calculs non linéaires

| Programme | Contre-exemple | LocFaults | | | | BugAssist |
|-----------------|---|------------|--|--|--|--|
| | | = 0 | = 1 | = 2 | = 3 | |
| AbsMinusKO3 | $\{i = 0, j = 1\}$ | {20} | {16}, {14}, {12} | / | / | {16, 20} |
| MinmaxKO | $\{in_1 = 2, in_2 = 1, in_3 = 3\}$ | {10}, {19} | {18}, {10} | / | / | {14, 19, 30} |
| MidKO | $\{a = 2, b = 1, c = 3\}$ | {19} | / | / | {14, 23, 26} | {14, 19, 30} |
| Maxmin6varKO4 | $\{a = 1, b = -3, c = -4, d = -2, e = -1, f = -2\}$ | {116} | / | / | {12, 15, 19} | {12, 166} |
| TritypeKO | $\{i = 2, j = 3, k = 2\}$ | {54} | $\{48\}, \{26\}, \{30\}, \{25\}$ | $\{29, 32\}, \{53, 57\}, \{30\}, \{25\}$ | / | $\{26, 27, 32, 33, 36, 48, 57, 68\}$ |
| TritypeKO4 | $\{i = 2, j = 3, k = 3\}$ | {46} | {45}, {33}, {25} | {26, 32} | $\{32, 35, 49\}, \{32, 35, 53\}, \{32, 35, 57\}$ | $\{26, 27, 29, 30, 32, 33, 35, 45, 49, 68\}$ |
| TritypeKO6 | $\{i = 2, j = 3, k = 3\}$ | {40} | $\{26\}, \{29\}$ | $\{35, 49\}, \{25\}, \{35, 53\}, \{25\}, \{35, 57\}, \{25\}$ | / | $\{26, 27, 29, 30, 32, 33, 35, 49, 68\}$ |
| TriPerimetreKO | $\{i = 2, j = 1, k = 2\}$ | {58} | $\{37\}, \{31\}, \{32\}, \{27\}$ | / | / | $\{28, 29, 31, 32, 35, 37, 65, 72\}$ |
| TriPerimetreKO6 | $\{i = 2, j = 2, k = 3\}$ | {50} | $\{37\}, \{35\}, \{34\}, \{27\}, \{29\}$ | $\{49, 53\}, \{35\}, \{27\}, \{29\}$ | / | $\{37, 72, 29, 32, 35, 34, 31, 49, 53\}$ |
| TriPerimetreKO4 | $\{i = 2, j = 3, k = 3\}$ | {50} | $\{37\}, \{34\}, \{35\}, \{27\}, \{49\}, \{35\}, \{27\}$ | / | / | $\{37, 35, 72, 50, 49, 34, 28, 29, 32, 61, 65, 31\}$ |

LocFaults fournit une localisation **plus informative** et **plus explicative**



Évaluation expérimentale

Résultats (Temps de calcul)

| Programmes | LocFaults | | | | | BugAssist | |
|------------------------|-----------|-------|-------|-------|-------|-----------|------|
| | P | L | | | | P | L |
| | | = 0 | ≤ 1 | ≤ 2 | ≤ 3 | | |
| AbsMinusKO3 | 0.693 | 0.021 | 0.042 | 0.037 | 0.038 | 0.02 | 0.03 |
| MinmaxKO | 0.675 | 0.063 | 0.071 | 0.068 | 0.08 | 0.02 | 0.06 |
| Maxmin6varKO4 | 0.785 | 0.029 | 0.03 | 0.034 | 0.05 | 0.07 | 1.05 |
| TritypeKO | 0.722 | 0.023 | 0.067 | 0.114 | 0.157 | 0.02 | 0.42 |
| TritypeKO4 | 0.722 | 0.023 | 0.063 | 0.073 | 0.099 | 0.02 | 0.30 |
| TritypeKO6 | 0.724 | 0.022 | 0.032 | 0.132 | 0.146 | 0.02 | 0.30 |
| TriPerimetreKO | 0.726 | 0.025 | 0.059 | 0.063 | 0.074 | 0.03 | 0.85 |
| TriPerimetreKO4 | 0.727 | 0.025 | 0.117 | 0.124 | 0.102 | 0.04 | 1.12 |
| TriPerimetreKO6 | 0.74 | 0.024 | 0.096 | 0.156 | 0.178 | 0.03 | 0.80 |

Les temps de LocFaults sont proches des temps de BugAssist





Évaluation expérimentale

Résultats (Temps de calcul)

| Programmes | LocFaults | | | | | BugAssist | |
|------------------------|-----------|-------|-------|-------|-------|-----------|------|
| | P | L | | | | P | L |
| | | = 0 | ≤ 1 | ≤ 2 | ≤ 3 | | |
| AbsMinusKO3 | 0.693 | 0.021 | 0.042 | 0.037 | 0.038 | 0.02 | 0.03 |
| MinmaxKO | 0.675 | 0.063 | 0.071 | 0.068 | 0.08 | 0.02 | 0.06 |
| Maxmin6varKO4 | 0.785 | 0.029 | 0.03 | 0.034 | 0.05 | 0.07 | 1.05 |
| TritypeKO | 0.722 | 0.023 | 0.067 | 0.114 | 0.157 | 0.02 | 0.42 |
| TritypeKO4 | 0.722 | 0.023 | 0.063 | 0.073 | 0.099 | 0.02 | 0.30 |
| TritypeKO6 | 0.724 | 0.022 | 0.032 | 0.132 | 0.146 | 0.02 | 0.30 |
| TriPerimetreKO | 0.726 | 0.025 | 0.059 | 0.063 | 0.074 | 0.03 | 0.85 |
| TriPerimetreKO4 | 0.727 | 0.025 | 0.117 | 0.124 | 0.102 | 0.04 | 1.12 |
| TriPerimetreKO6 | 0.74 | 0.024 | 0.096 | 0.156 | 0.178 | 0.03 | 0.80 |

Les temps de LocFaults **sont proches** des temps de BugAssist





Évaluation expérimentale

Résultats (Temps de calcul pour les programmes non linéaires)

| Programme | LocFaults | | | | | BugAssist | |
|----------------------------|-----------|-------|-------|-------|-------|-----------|------|
| | P | L | | | | P | L |
| | | = 0 | ≤ 1 | ≤ 2 | ≤ 3 | | |
| TriMultPerimetreKO | 0.749 | 0.056 | 0.133 | 0.14 | 0.148 | 0.05 | 3.50 |
| TriMultPerimetreKO4 | 0.767 | 0.055 | 0.154 | 0.164 | 0.164 | 0.06 | 2.97 |
| TriMultPerimetreKO5 | 0.756 | 0.056 | 0.113 | 0.166 | 0.177 | 0.05 | 4.09 |
| TriMultPerimetreKO6 | 0.764 | 0.049 | 0.114 | 0.179 | 0.173 | 0.05 | 2.89 |
| HeronKO | 0.797 | 0.119 | 0.188 | 0.186 | 0.207 | 0.06 | 7.93 |
| HeronKO4 | 0.771 | 0.049 | 0.163 | 0.183 | 0.169 | 0.07 | 4.63 |
| HeronKO5 | 0.755 | 0.05 | 0.119 | 0.186 | 0.178 | 0.07 | 5.45 |
| HeronKO6 | 0.746 | 0.048 | 0.115 | 0.176 | 0.179 | 0.07 | 5.03 |

LocFaults est plus **rapide** que BugAssist pour ces benchmarks





Évaluation expérimentale

Résultats (Temps de calcul pour les programmes non linéaires)

| Programme | LocFaults | | | | | BugAssist | |
|----------------------------|-----------|-------|-------|-------|-------|-----------|------|
| | P | L | | | | P | L |
| | | = 0 | ≤ 1 | ≤ 2 | ≤ 3 | | |
| TriMultPerimetreKO | 0.749 | 0.056 | 0.133 | 0.14 | 0.148 | 0.05 | 3.50 |
| TriMultPerimetreKO4 | 0.767 | 0.055 | 0.154 | 0.164 | 0.164 | 0.06 | 2.97 |
| TriMultPerimetreKO5 | 0.756 | 0.056 | 0.113 | 0.166 | 0.177 | 0.05 | 4.09 |
| TriMultPerimetreKO6 | 0.764 | 0.049 | 0.114 | 0.179 | 0.173 | 0.05 | 2.89 |
| HeronKO | 0.797 | 0.119 | 0.188 | 0.186 | 0.207 | 0.06 | 7.93 |
| HeronKO4 | 0.771 | 0.049 | 0.163 | 0.183 | 0.169 | 0.07 | 4.63 |
| HeronKO5 | 0.755 | 0.05 | 0.119 | 0.186 | 0.178 | 0.07 | 5.45 |
| HeronKO6 | 0.746 | 0.048 | 0.115 | 0.176 | 0.179 | 0.07 | 5.03 |

LocFaults est plus **rapide** que BugAssist pour ces benchmarks



Évaluation expérimentale

Résultats (Nombre d'erreurs localisées pour TCAS)

| Prog | Nb_E | Nb_CE | LF | | | BA |
|------|------|-------|-----|-----|-----|-----|
| | | | ≤ 1 | ≤ 2 | ≤ 3 | |
| V1 | 1 | 131 | 131 | 131 | 131 | 131 |
| V2 | 2 | 67 | 67 | 67 | 67 | 67 |
| V3 | 1 | 23 | 23 | 23 | 23 | 13 |
| V4 | 1 | 20 | 4 | 4 | 4 | 20 |
| V5 | 1 | 10 | 9 | 9 | 9 | 10 |
| V6 | 1 | 12 | 11 | 11 | 11 | 12 |
| V7 | 1 | 36 | 36 | 36 | 36 | 36 |
| V8 | 1 | 1 | 1 | 1 | 1 | 1 |
| V9 | 1 | 7 | 7 | 7 | 7 | 7 |
| V10 | 2 | 14 | 12 | 12 | 12 | 14 |
| V11 | 2 | 14 | 12 | 12 | 12 | 14 |
| V12 | 1 | 70 | 45 | 45 | 45 | 48 |
| V13 | 1 | 4 | 4 | 4 | 4 | 4 |
| V14 | 1 | 50 | 50 | 50 | 50 | 50 |
| V16 | 1 | 70 | 70 | 70 | 70 | 70 |
| V17 | 1 | 35 | 35 | 35 | 35 | 35 |
| V18 | 1 | 29 | 28 | 28 | 28 | 29 |
| V19 | 1 | 19 | 18 | 18 | 18 | 19 |
| V20 | 1 | 18 | 18 | 18 | 18 | 18 |

| | | | | | | |
|-----|---|-----|-----|-----|-----|-----|
| V21 | 1 | 16 | 16 | 16 | 16 | 16 |
| V22 | 1 | 11 | 11 | 11 | 11 | 11 |
| V23 | 1 | 41 | 41 | 41 | 41 | 41 |
| V24 | 1 | 7 | 7 | 7 | 7 | 7 |
| V25 | 1 | 3 | 2 | 2 | 2 | 3 |
| V26 | 1 | 11 | 7 | 7 | 7 | 11 |
| V27 | 1 | 10 | 9 | 9 | 9 | 10 |
| V28 | 1 | 75 | 74 | 74 | 74 | 58 |
| V29 | 1 | 18 | 17 | 17 | 17 | 14 |
| V30 | 1 | 57 | 57 | 57 | 57 | 57 |
| V34 | 1 | 77 | 77 | 77 | 77 | 77 |
| V35 | 1 | 75 | 74 | 74 | 74 | 58 |
| V36 | 1 | 122 | 120 | 120 | 120 | 122 |
| V37 | 1 | 94 | 21 | 22 | 22 | 94 |
| V39 | 1 | 3 | 2 | 2 | 2 | 3 |
| V40 | 2 | 122 | 0 | 72 | 72 | 122 |
| V41 | 1 | 20 | 16 | 16 | 16 | 20 |

LocFaults se compare très favorablement
à BugAssist



Évaluation expérimentale

Résultats (Nombre d'erreurs localisées pour TCAS)

| Prog | Nb_E | Nb_CE | LF | | | BA |
|------|------|-------|-----|-----|-----|-----|
| | | | ≤ 1 | ≤ 2 | ≤ 3 | |
| V1 | 1 | 131 | 131 | 131 | 131 | 131 |
| V2 | 2 | 67 | 67 | 67 | 67 | 67 |
| V3 | 1 | 23 | 23 | 23 | 23 | 13 |
| V4 | 1 | 20 | 4 | 4 | 4 | 20 |
| V5 | 1 | 10 | 9 | 9 | 9 | 10 |
| V6 | 1 | 12 | 11 | 11 | 11 | 12 |
| V7 | 1 | 36 | 36 | 36 | 36 | 36 |
| V8 | 1 | 1 | 1 | 1 | 1 | 1 |
| V9 | 1 | 7 | 7 | 7 | 7 | 7 |
| V10 | 2 | 14 | 12 | 12 | 12 | 14 |
| V11 | 2 | 14 | 12 | 12 | 12 | 14 |
| V12 | 1 | 70 | 45 | 45 | 45 | 48 |
| V13 | 1 | 4 | 4 | 4 | 4 | 4 |
| V14 | 1 | 50 | 50 | 50 | 50 | 50 |
| V16 | 1 | 70 | 70 | 70 | 70 | 70 |
| V17 | 1 | 35 | 35 | 35 | 35 | 35 |
| V18 | 1 | 29 | 28 | 28 | 28 | 29 |
| V19 | 1 | 19 | 18 | 18 | 18 | 19 |
| V20 | 1 | 18 | 18 | 18 | 18 | 18 |

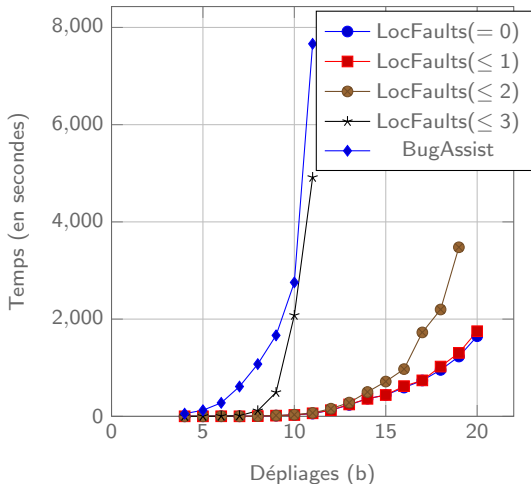
| | | | | | | |
|-----|---|-----|-----|-----|-----|-----|
| V21 | 1 | 16 | 16 | 16 | 16 | 16 |
| V22 | 1 | 11 | 11 | 11 | 11 | 11 |
| V23 | 1 | 41 | 41 | 41 | 41 | 41 |
| V24 | 1 | 7 | 7 | 7 | 7 | 7 |
| V25 | 1 | 3 | 2 | 2 | 2 | 3 |
| V26 | 1 | 11 | 7 | 7 | 7 | 11 |
| V27 | 1 | 10 | 9 | 9 | 9 | 10 |
| V28 | 1 | 75 | 74 | 74 | 74 | 58 |
| V29 | 1 | 18 | 17 | 17 | 17 | 14 |
| V30 | 1 | 57 | 57 | 57 | 57 | 57 |
| V34 | 1 | 77 | 77 | 77 | 77 | 77 |
| V35 | 1 | 75 | 74 | 74 | 74 | 58 |
| V36 | 1 | 122 | 120 | 120 | 120 | 122 |
| V37 | 1 | 94 | 21 | 22 | 22 | 94 |
| V39 | 1 | 3 | 2 | 2 | 2 | 3 |
| V40 | 2 | 122 | 0 | 72 | 72 | 122 |
| V41 | 1 | 20 | 16 | 16 | 16 | 20 |

LocFaults se compare **très favorablement**
à BugAssist



Évaluation expérimentale

Résultats sur des programmes avec boucles : Benchmark BubbleSort

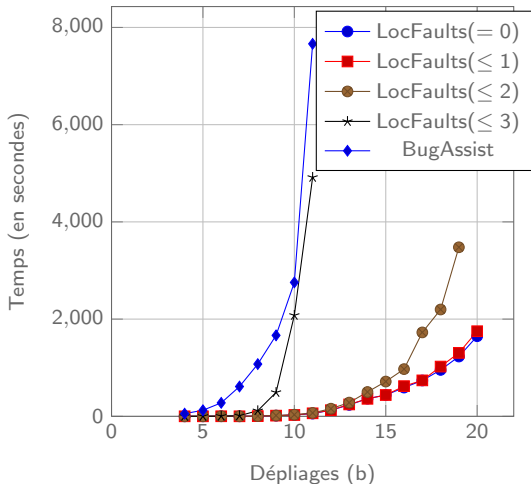


- La durée d'exécution de LocFaults et de BugAssist pour ce benchmark **croît exponentiellement** avec le nombre de dépliages
- Les temps de BugAssist sont **toujours les plus grands**
- Les différentes versions de LocFaults **restent utilisables** jusqu'à un certain dépliage
- Le nombre de dépliage au-delà de lequel la croissance des temps de BugAssist devient **réduisant** est inférieur à celui de LocFaults → celui de LocFaults avec au plus 3 conditions déviées est **inférieur** à celui de LocFaults avec au plus 2 conditions déviées → qui est **inférieur** lui aussi à celui de LocFaults avec au plus 1 conditions déviées → les temps de LocFaults avec au plus 1 et 0 condition déviée sont **presque les mêmes**



Évaluation expérimentale

Résultats sur des programmes avec boucles : Benchmark BubbleSort

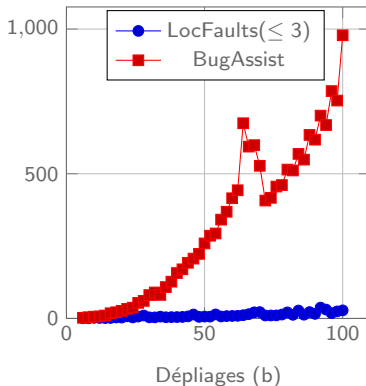
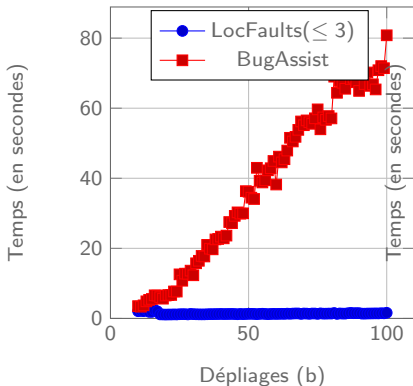


- La durée d'exécution de LocFaults et de BugAssist pour ce benchmark **croît exponentiellement avec le nombre de dépliage**
- Les temps de BugAssist sont **toujours les plus grands**
- Les différentes versions de LocFaults **restent utilisables** jusqu'à un certain dépliage
- Le **nombre de dépliage** au-delà de lequel **la croissance** des temps de BugAssist devient **réthibitoire** est inférieur à celui de LocFaults
→ celui de LocFaults avec au plus 3 conditions déviées est **inférieur** à celui de LocFaults avec au plus 2 conditions déviées
→ qui est **inférieur** lui aussi à celui de LocFaults avec au plus 1 conditions déviées
→ les temps de LocFaults avec au plus 1 et 0 condition déviée sont **presque les mêmes**



Évaluation expérimentale

Résultats sur des programmes avec boucles : Sum et SquareRoot

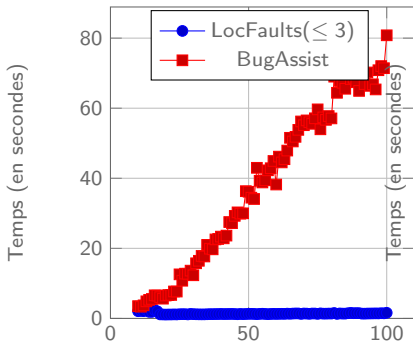


- Le temps d'exécution de BugAssist **croît rapidement**
- Les temps de LocFaults sont **presque constants**
- Les temps de LocFaults avec au plus 0, 1 et 2 conditions déviées sont **proches** de ceux de LocFaults avec au plus 3 conditions déviées

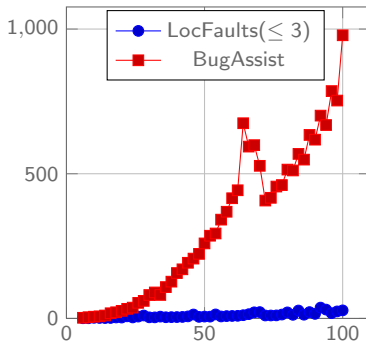


Évaluation expérimentale

Résultats sur des programmes avec boucles : Sum et SquareRoot



Dépliage (b)



Dépliage (b)

- Le temps d'exécution de BugAssist **croît rapidement**
- Les temps de LocFaults sont **presque constants**
- Les temps de LocFaults avec au plus 0, 1 et 2 conditions déviées sont **proches** de ceux de LocFaults avec au plus 3 conditions déviées



État de l'art

Localisation d'erreurs en test

Exemples : Tarantula, Pinpoint, Delta Debugging, WHITHER, SOBER, AMPLE

Tarantula :

- **Classement des instructions suspectes** détectées lors de l'exécution d'**une batterie de tests**

+ Approches **simples**

- Besoin de **beaucoup** de **cas de tests**

Des approches qui requièrent l'existence d'**un oracle**

→ Décider si le résultat de **dizaines de milliers** de test est **juste**

Notre cadre est **moins exigeant**

→ **Bounded Model Checking**



État de l'art

Localisation d'erreurs en test

Exemples : Tarantula, Pinpoint, Delta Debugging, WHITHER, SOBER, AMPLE

Tarantula :

- **Classement des instructions suspectes** détectées lors de l'exécution d'**une batterie de tests**

+ Approches **simples**

- Besoin de **beaucoup** de **cas de tests**

Des approches qui requièrent l'existence d'**un oracle**

→ Décider si le résultat de **dizaines de milliers** de test est **juste**

Notre cadre est **moins exigeant**

→ **Bounded Model Checking**



État de l'art

Localisation d'erreurs en test

Exemples : Tarantula, Pinpoint, Delta Debugging, WHITHER, SOBER, AMPLE

Tarantula :

- **Classement des instructions suspectes** détectées lors de l'exécution d'**une batterie de tests**

+ Approches **simples**

- Besoin de **beaucoup** de **cas de tests**

Des approches qui requièrent l'existence d'**un oracle**

→ Décider si le résultat de **dizaines de milliers** de test est **juste**

Notre cadre est **moins exigeant**

→ **Bounded Model Checking**



État de l'art

Localisation d'erreurs en Model Checking

Exemples : Explain, SNIPER, BugAssist

BugAssist :

- Une méthode de BMC, comme la notre
- **Différences majeures** :
 - Elle transforme **la totalité du programme** en une formule SAT
 - Elle est basée sur l'utilisation des **solveurs MaxSAT**

- + Approche **globale**
- Elle transforme la **totalité** des instructions du programme dans une **formule booléenne**



État de l'art

Localisation d'erreurs en Model Checking

Exemples : Explain, SNIPER, BugAssist

BugAssist :

- Une méthode de BMC, comme la notre

- **Différences majeures :**

- Elle transforme **la totalité du programme** en une formule SAT

- Elle est basée sur l'utilisation des **solveurs MaxSAT**

+ Approche **globale**

- Elle transforme la **totalité** des instructions du programme dans une **formule booléenne**



État de l'art

Calcul MCS et MUS dans un système de contraintes inconsistant

- Algorithmes pour calculer un **seul MCS**

→ BLS, FastDiag, Approche de Joao Marques-Silva

- BLS (Basic Linear Search) est un algorithme **intuitif** et **itératif**
- FastDiag se base sur le principe de **diviser pour régner**
- Les techniques proposées par Joao Marques-Silva peuvent être **intégrées** dans les algorithmes calculant les MCSs pour **améliorer leurs performances**



État de l'art

Calcul MCS et MUS dans un système de contraintes inconsistant

- Algorithmes pour calculer un **seul MCS**

→ BLS, FastDiag, Approche de Joao Marques-Silva

- BLS (Basic Linear Search) est un algorithme **intuitif** et **itératif**
- FastDiag se base sur le principe de **diviser pour régner**
- Les techniques proposées par Joao Marques-Silva peuvent être **intégrées** dans les algorithmes calculant les MCSs pour **améliorer leurs performances**



État de l'art

Calcul MCS et MUS dans un système de contraintes inconsistant

■ Algorithmes pour isoler un **seul MUS**

→ Deletion Filter, Méthode Additive, Méthode Additive + Deletion, QuickXplain

- Les quatre algorithmes se basent sur le **test de la faisabilité** d'un CSP
- La différence entre eux réside dans le **nombre de tests de faisabilité** effectués :

| La méthode | | Le meilleur cas | Le pire cas |
|--------------------------|--|---------------------------------|--|
| Deletion Filter | | n | n |
| Additive Method | | $\sum_{i=1}^k i + 1$ | $\sum_{i=0}^{k-1} (n - i) + 1$ |
| Additive/Deletion Method | | $k + (k - 1)$ | $n + (n - 1)$ |
| QUICKXPLAIN | $split(n) = n/2$ $split(n) = n - 1$ $split(n) = 1$ | $\log(n/k) + 2k$ $2k$ k | $2k * \log(n/k) + 2k$ $2n$ $n + k$ |

La cardinalité de l'ensemble de contraintes en entrée est n , et la cardinalité de l'ensemble retourné est k



État de l'art

Calcul MCS et MUS dans un système de contraintes inconsistant

- Algorithmes pour isoler un **seul MUS**

→ Deletion Filter, Méthode Additive, Méthode Additive + Deletion, QuickXplain

- Les quatre algorithmes se basent sur le **test de la faisabilité** d'un CSP

- La différence entre eux réside dans le **nombre de tests de faisabilité** effectués :

| La méthode | | Le meilleur cas | Le pire cas |
|--------------------------|--|---------------------------------|--|
| Deletion Filter | | n | n |
| Additive Method | | $\sum_{i=1}^k i + 1$ | $\sum_{i=0}^{k-1} (n - i) + 1$ |
| Additive/Deletion Method | | $k + (k - 1)$ | $n + (n - 1)$ |
| QUICKXPLAIN | $split(n) = n/2$ $split(n) = n - 1$ $split(n) = 1$ | $\log(n/k) + 2k$ $2k$ k | $2k * \log(n/k) + 2k$ $2n$ $n + k$ |

La cardinalité de l'ensemble de contraintes en entrée est n , et la cardinalité de l'ensemble retourné est k



État de l'art

Calcul MCS et MUS dans un système de contraintes inconsistant

- Algorithmes pour trouver **plusieurs MCSs**
 - Approche de M.H.Liffiton
- L'**énumération des MCSs** trouve de nombreuses applications, exemples : MaxSAT, l'énumération des MUSs.
- La plupart des approches existantes utilisent ou bien un **solveur MaxSAT** ou bien ou des **appels itératifs** à un **solveur normal** (SAT ou de contraintes)
- CAMUS qui se **base sur MaxSAT** est parmi les approches les **plus efficaces**
 - 1 Elle résout une **série de problèmes de MaxSAT** successifs
 - 2 Chacun avec la **restriction** qui exclut les MCSs trouvés précédemment
 - 3 **Critère d'arrêt** : Il ne reste plus d'ensembles satisfaisables



État de l'art

Calcul MCS et MUS dans un système de contraintes inconsistant

- Algorithmes pour trouver **plusieurs MCSs**
 - Approche de M.H.Liffiton
- L'**énumération des MCSs** trouve de nombreuses applications, exemples : MaxSAT, l'énumération des MUSs.
- La plupart des approches existantes utilisent ou bien un **solveur MaxSAT** ou bien des **appels itératifs** à un **solveur normal** (SAT ou de contraintes)
- CAMUS qui se **base sur MaxSAT** est parmi les approches les **plus efficaces**
 - 1 Elle résout une **série de problèmes de MaxSAT** successifs
 - 2 Chacun avec la **restriction** qui exclut les MCSs trouvés précédemment
 - 3 **Critère d'arrêt** : Il ne **reste plus d'ensembles satisfaisables**



État de l'art

Calcul MCS et MUS dans un système de contraintes inconsistant

■ Algorithmes pour trouver de multiples MUSs

→ DAA, CAMUS, MARCO

- DAA et CAMUS exploitent la relation entre MCSs et MUSs
- Les différences majeures entre DAA et CAMUS :
 - 1 CAMUS calcule tous les MCSs, puis il calcule tous les MUSs
 - 2 DAA calcule les deux tout au long de son exécution
 - 3 CAMUS souffre du fait que le nombre des MCSs peut être exponentiel
→ Impact négatif pour faire des progrès sur le calcul des MUSs
 - 4 DAA est mieux, mais il ne pourrait pas trouver un MUS de taille k s'il n'a pas trouvé au moins k MCSs
- CAMUS peut énumérer tous les MUSs plus rapidement que MARCO, tandis que MARCO est plus approprié pour le calcul de certains MUSs rapidement



État de l'art

Calcul MCS et MUS dans un système de contraintes inconsistant

- Algorithmes pour trouver de **multiples MUSs**

→ DAA, CAMUS, MARCO

- DAA et CAMUS exploitent **la relation entre MCSs et MUSs**

- Les **différences majeures** entre DAA et CAMUS :

- 1 CAMUS calcule tous les MCSs, **puis** il calcule tous les MUSs

- 2 DAA calcule les **deux tout au long de son exécution**

- 3 CAMUS **souffre** du fait que le nombre des MCSs peut être **exponentiel**

→ **Impact négatif** pour **faire des progrès** sur le calcul des MUSs

- 4 DAA est mieux, mais il ne pourrait pas trouver un MUS de **taille k** s'il n'a pas trouvé **au moins k MCSs**

- CAMUS peut énumérer tous les MUSs **plus rapidement** que MARCO, tandis que MARCO est **plus approprié** pour le calcul de certains MUSs **rapidement**



Conclusions & perspectives

Conclusions

- Notre approche **incrémentale basée sur les flots** est une bonne manière pour aider le programmeur à la chasse aux bugs
 - Elle localise les erreurs **autour** du chemin du contre-exemple
 - Exploration **DFS** + Calcul des **MCSs bornés**
 - Pour empêcher **l'explosion combinatoire**
- Basée sur l'utilisation **des solveurs de contraintes**
- LocFaults fournit des résultats plus **précis** et plus **pertinents** par rapport à **BugAssist**
 - Les temps de LocFaults sont **meilleurs** pour les programmes avec **calculs numériques**
- LocFaults **localise fréquemment** les erreurs pour les programmes TCAS



Conclusions & perspectives

Perspectives

- Expérimenter plus de **programmes réels**
- Calcul des **MUSs**
- Traiter les instructions avec **calcul sur les flottants**
 - Utiliser des **solveurs spécialisés** sur les flottants
- Mesurer le **degré de suspicion** de chaque instruction
- Méthode **hybride**, statistique et BMC, pour la localisation d'erreurs



Merci pour votre attention !
Questions ?